

Corrige planche n°17

OPT 201

Fraude achromatique

$$\textcircled{10} \quad \underline{\text{Sans la lame}}: \quad I(x) = 4I_0 \cos^2 \frac{\pi ax}{\lambda D}$$

Fraude d'ordre 0: $x=0$ fraude centrale achromatique.

Avec la lame: le rayon a subit un déphasage supplémentaire $\varphi_l = \frac{2\pi\delta}{\lambda}$ $\delta = (n-1)e$

$$\Rightarrow \boxed{I'(x) = 4I_0^2 \cos^2 \left(\frac{\pi ax}{\lambda D} - \frac{\pi(n-1)e}{\lambda} \right)}$$

$$\underline{\text{Fraude d'ordre 0}}: \quad \frac{\pi ax_0}{\lambda D} = \frac{\pi(n-1)e}{\lambda} \Rightarrow \boxed{x_0 = \frac{eD}{a}(n-1)}$$

Fraude décalée vers le haut

20 Soit p^{e} ordre de la fraude brillante achromatique pour une λ donnée : on a une fraude brillante pour

$$\delta' = p\lambda = \delta - (n-1)e = \frac{ax}{D} - (n-1)e$$

$$\Rightarrow x = \frac{D}{a} \left[p\lambda + (n-1)e \right] = x(\lambda).$$

on doit avoir la même x pour toutes les λ donc $x(\lambda)$ doit varier

très peu : $\frac{dx}{d\lambda} = 0$ soit : $\frac{D}{a} \left[p + \left(\frac{dn}{d\lambda} \right) e \right] = 0$.

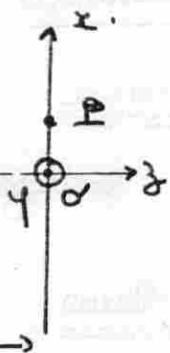
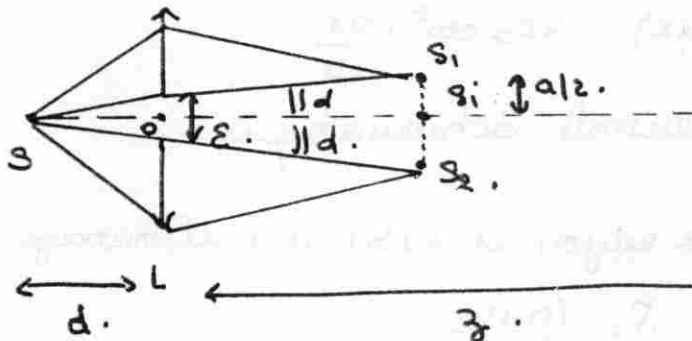
$$\Rightarrow \underline{p = -e \left(\frac{dn}{d\lambda} \right)}.$$

alors :
$$\boxed{x_1 = \frac{De}{a} \left[(n-1) - \lambda \left(\frac{dn}{d\lambda} \right) \right]} \quad \text{fraude achromatique}$$

$$x_1 - x_0 = - \frac{eD\lambda}{a} \left(\frac{dn}{d\lambda} \right) \quad \text{alors} \quad B = \frac{a}{2eD} (x_1 - x_0)^2 = 5,75 \cdot 10^{-3} (\mu\text{m})^2$$

$$A = 1 + \frac{a}{2eD} (3x_0 - x_1) = 1,563$$

(10)



$$\overline{SO} = d = 75 \text{ cm.}$$

$$\alpha \# \operatorname{tg} d = \frac{\varepsilon}{2d} \quad \text{et on a la relation : } -\frac{1}{P} + \frac{1}{P'} = \frac{1}{z_i}$$

soit i.e. $P = -d$
 $P' = \overline{OS_i}$) $\Rightarrow \frac{1}{\overline{OS_i}} = \frac{1}{z_i} - \frac{1}{d} \Rightarrow \boxed{\overline{OS_i} = \frac{dz_i}{d-z_i}}$

$$\text{et } \operatorname{tg} d = \frac{\overline{S_i}S_1}{\overline{SS_i}} = \frac{z_i}{d+\overline{OS_i}} = \frac{z_i}{d+\frac{dz_i}{d-z_i}} = \frac{z_i}{\frac{d^2-z_i^2+dz_i}{d-z_i}} = \frac{z_i}{d^2-z_i^2+dz_i} \cdot (d-z_i) .$$

$$\Rightarrow \frac{\alpha}{2} = \frac{d^2}{d-z_i} \cdot \operatorname{tg} d = \frac{d^2}{d-z_i} \times \frac{\varepsilon}{2d} \Rightarrow \boxed{\alpha = \frac{d\varepsilon}{d-z_i}}$$

AN: $\overline{OS_i} = 150 \text{ cm.}$

$\alpha = 3 \text{ mm.}$

(20)

Intensité dans le plan Oxy.

$$I = I_0 \left(\cos \frac{2\pi \alpha x}{\lambda D} + 1 \right) \quad D = z - \overline{OS_i}$$

$$\Rightarrow \text{pour } \alpha_1: \quad I_1 = I_0 \left(\cos \frac{2\pi \alpha_1 x}{\lambda_1 D} + 1 \right)$$

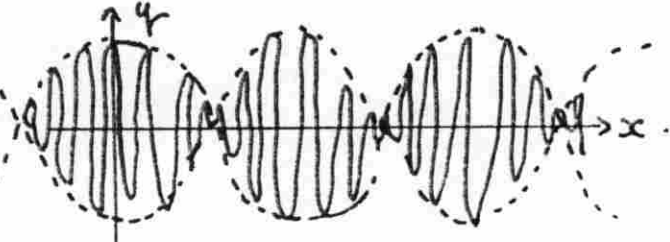
$$\text{pour } \alpha_2: \quad I_2 = I_0 \left(1 + \cos \frac{2\pi \alpha_2 x}{\lambda_2 D} \right).$$

$$\Rightarrow I = I_1 + I_2 = 2I_0 \left(1 + \cos \frac{2\pi \alpha_1 x}{\lambda_1 D} + \cos \frac{2\pi \alpha_2 x}{\lambda_2 D} \right)$$

$$I = 4I_0 \left(1 + \cos \frac{2\pi \alpha_1 x}{\lambda_0} \right) \cos \left(2\pi \delta \left(\frac{1}{\lambda_1} - \frac{1}{\lambda_2} \right) \right) \quad \lambda_0 = \lambda_1 = \lambda_2 \quad \lambda_0 \text{ moyen.}$$

→ phénomène de battement

Le facteur de visibilité dépend des



2 sources microtremantes $\Rightarrow I(x) = I_1(x) + I_2(x)$.

$$\underline{I_1(x)} ? \quad I_1(x) = 2I_0 \left(1 + \cos \frac{2\pi \delta_1}{\lambda} \right).$$

$$\delta_1 = \frac{dx}{g'} + \frac{ad}{2D}$$

$$\underline{I_2(x)} ? \quad I_2(x) = 2I_0 \left(1 + \cos \frac{2\pi \delta_2}{\lambda} \right)$$

$$\delta_2 = \frac{dx}{g'} - \frac{ad}{2D}$$

$$\text{d'où : } I(x) = 2I_0 \left[2 + \cos \frac{2\pi}{\lambda} \left(\frac{xd}{g'} - \frac{ad}{2D} \right) + \cos \frac{2\pi}{\lambda} \left(\frac{xd}{g'} + \frac{ad}{2D} \right) \right]$$

$$\Rightarrow I(x) = 4I_0 \left[1 + \cos \frac{\pi ad}{2D} \cos \frac{2\pi dx}{\lambda g'} \right].$$

Facteur de visibilité des franges :

$$V = \cos \frac{\pi ad}{2D}$$

$$\text{comme } a = vt : \quad V = \cos \left(\frac{2\pi}{\lambda} \frac{vd}{2D} t \right) = \cos \frac{2\pi t}{T}$$

⇒ brouillage périodique dans le temps, de période :

$$T = \frac{2\pi D}{vd}$$

10)

- a) { Faisceau 1: $O_1 \rightarrow J \rightarrow H_2 \rightarrow J \rightarrow O_2$. traverse $2 \times G$.
vitesse : $\frac{1}{4} I_0$.
- Faisceau 2: $O_1 \rightarrow J \rightarrow H_1 \rightarrow J \rightarrow O_2$, 2 réflexions sur G .
vitesse : $\frac{1}{4} I_0$.

$$\left\{ \begin{array}{l} \text{Faisceau 1': } O_1 \rightarrow J \rightarrow H_2 \rightarrow J \rightarrow O_2 : 1 \text{ réflexion + 1 traverse} \\ \text{vitesse : } \frac{1}{4} I_0. \end{array} \right.$$

$$\left\{ \begin{array}{l} \text{Faisceau 2': } O_1 \rightarrow J \rightarrow H_1 \rightarrow J \rightarrow O_2 : \text{vitesse } \frac{1}{4} I_0. \end{array} \right.$$

b) δ_1 entre les 2 premiers faisceaux (sortant en O₁)

$$\delta_1 = 2D_2 - (2D_1 + d) \quad \xrightarrow{\text{2 réflexions } O_1 H_1} \quad \Rightarrow \quad \boxed{\delta_1 = 2(D_2 - D_1) - d}$$

δ_2 entre les 2 faisceaux (sortant en O₂)

$$\delta_2 = 2D_2 + D'' - \left(\frac{\lambda}{2} + 2D_1 + D'' \right) \quad \xrightarrow{\text{1 réflexion } O_2 H_2} \quad \Rightarrow \quad \boxed{\delta_2 = 2(D_2 - D_1) - \frac{\lambda}{2}}$$

Si l'œil est au foyer de L₁, les rayons sortant de L₁ vont tous // à la direction O₁J.

c) Direction JO₁: $I_1 = 4 \times \frac{I_0}{4} \cos^2 \frac{\pi \delta_1}{\lambda}$

$$\Rightarrow I_1 = I_0 \cos^2 \frac{2\pi(D_2 - D_1)}{\lambda} \quad \xrightarrow{D_1 = D_2} \quad I_1 = I_0.$$

$$\xrightarrow{D_2 = D_1 + \frac{\lambda}{4}} \quad I_1 = 0.$$

Direction JO₂: $I_2 = 4 \times \frac{I_0}{4} \cos^2 \frac{\pi \delta_2}{\lambda}$

$$\Rightarrow I_2 = I_0 \sin^2 \frac{2\pi(D_2 - D_1)}{\lambda} \quad \xrightarrow{D_1 = D_2} \quad I_2 = 0.$$

$$\xrightarrow{D_2 = D_1 + \frac{\lambda}{4}} \quad I_2 = I_0.$$

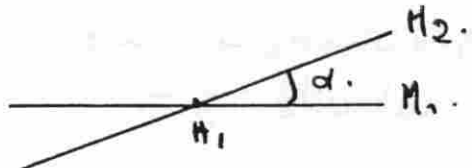
Aspect de E placé en H, conjugué de H₁ par rapport à L₂.

$D_1 = D_2$: E est noir (interférences des structures).

$D_2 = D_1 + \frac{\lambda}{4}$: on voit sur E l'image brillante du miroir M₁, uniformément éclairé (tente plate).

(20)

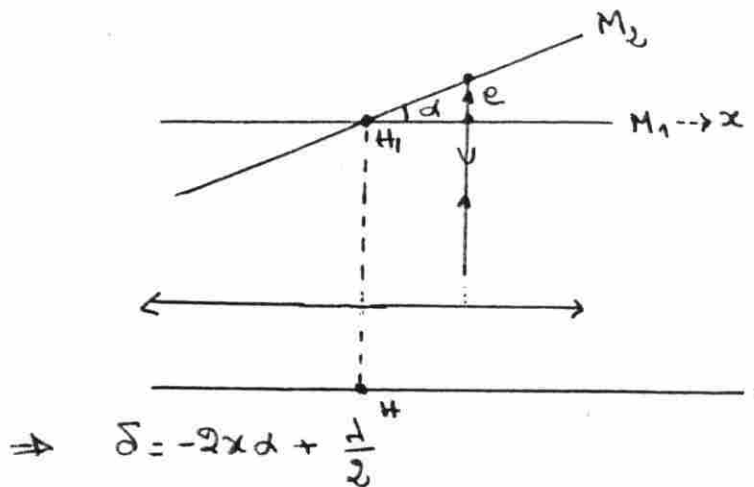
a) Par symétrie de cheminement optique par rapport à G, tout se passe comme si on avait :



$$(\cos D_1 = D_2)$$

= couplage d'air

sous incidence normale



$$\Rightarrow \delta = -2xd + \frac{d}{2}$$

Éclairement sur E situé sur H:

$$\delta' = 2e \# 2xd$$

et il y a la différence de marche supplémentaire $\frac{d_1}{2}$ car les 2 rayons ont subi la réflexion D, JH.

Les franges sont localisées sur le miroir M1.

on observe en plaçant sur le plan conjugué de M1 l'écran

Si on note σ le grandissement transversal de la lentille :

$$x = \sigma z.$$

$$\delta(x) = \frac{d_1}{2} - \frac{2d}{\lambda} x.$$

D'où :
$$\Sigma(x) = I_0 \cos^2 \frac{\pi \delta}{d_1} = I_0 \sin^2 \frac{2\pi dx}{\lambda d_1}$$

on retrouve, pour le cas $D_1 = D_2$, $x=0$ une fringe noire au centre

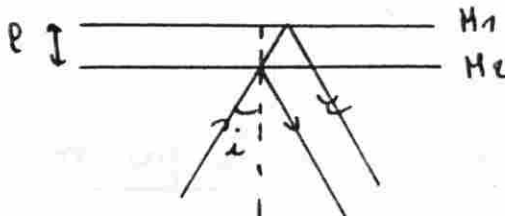
On observe des franges rectiligne // arête du dièdre.

Intervalle :
$$\lambda = \frac{18d_1}{2d} \quad \sigma = \frac{D_2 H}{D_1 H_1} < 0$$

- ④ On doit placer, pour observer des franges nettes, E dans le plan conjugué de M1 par L2.

(30) $\alpha = 0 \cdot D_2 - D_1 = -l \quad l \ll D_1$

- ⑤ Par symétrie du chemin optique, on est ramené à la situation suivante :



équivaut à une lame d'air à faces //.

ou éclairé avec une source large pour avoir plusieurs

angles d'incidence.

$$\delta' = 2P \cos i \quad \text{et} \quad \delta = \frac{\lambda}{2} + 2P \cos i$$

Les franges sont des anneaux localisés à l'origine centrés sur l'axe H_1O_2 .

⑥ Doublot jaune du sodium: $P = \frac{\delta}{\lambda}$

$$d_1 = 589,0 \text{ nm} \rightarrow p_1 = \frac{\delta_1}{d_1} = \frac{1}{2} + \frac{2P \cos i}{d_1} = \frac{1}{2} + \frac{\delta'}{d_1}$$

$$d_2 = 589,6 \text{ nm} \rightarrow p_2 = \frac{1}{2} + \frac{\delta'}{d_2}$$

$$\Delta P = p_2 - p_1 = \delta' \left(\frac{1}{d_2} - \frac{1}{d_1} \right) = \frac{\delta'}{d_1} \left(\frac{d_1 - d_2}{d_2} \right) = \left(p_1 - \frac{1}{2} \right) \left(-\frac{\Delta d}{d_2} \right) \ll p_1 \text{ et } p_2$$

L'éclairage E est maximal (au centre par exemple) si p_1 et p_2 sont entiers simultanément:

$$\Rightarrow \Delta p_{\text{entier}} = -n \in \mathbb{N}^*$$

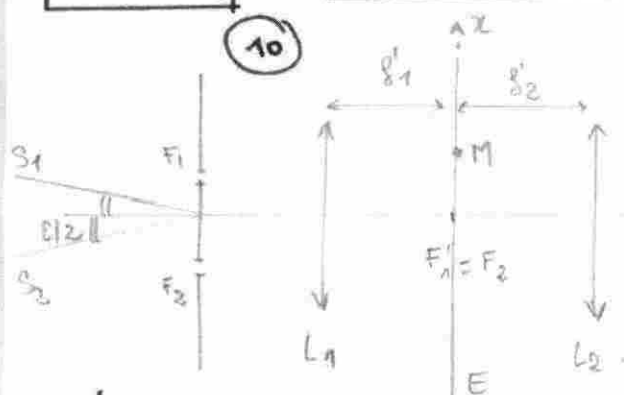
$$\Rightarrow \frac{\delta'}{d_1} \cdot \frac{\Delta d}{d_2} = n \Leftrightarrow$$

$$P = n \frac{d_1 d_2}{2 \Delta d} \# n \cdot \frac{d^2}{\Delta d}$$

Exercice 4

étoile double.

10



sources niochères.
les S_1, S_2 à $\ell' \infty$.

$$E_1(M) = I_0 \left(1 + \cos \frac{2\pi \delta_1}{\lambda} \right)$$

$$\delta_1 = \frac{\alpha E}{2} + \frac{\alpha x}{\lambda g_1}$$

$$E_2(M) = I_0 \left(1 + \cos \frac{2\pi \delta_2}{\lambda} \right)$$

$$\delta_2 = -\frac{\alpha E}{2} + \frac{\alpha x}{\lambda g_1}$$

$$\Rightarrow E(H) = I_0 \left[2 + \cos \frac{2\pi a}{\lambda} \left(\frac{\varepsilon}{2} + \frac{x}{d_{g1}} \right) + \cos \frac{2\pi a}{\lambda} \left(-\frac{\varepsilon}{2} + \frac{x}{d_{g1}} \right) \right]. \quad (7)$$

$$E(H) = 2I_0 \left[1 + \underbrace{\cos \frac{2\pi a}{\lambda} \frac{\varepsilon}{2}}_{\text{contraste}} \underbrace{\cos \frac{2\pi a x}{\lambda d_{g1}}}_{\text{franges d'interférence rectilignes}}$$

↓ ↓

contraste franges d'interférence rectilignes
visible si $a \neq k \cdot \frac{1}{2\varepsilon}$, $k \in \mathbb{N}$

Interfrange: $i = \frac{d_{g1}}{a} = 0,1 \text{ mm.}$

(20)

$\mathcal{V} = \cos \frac{2\pi a x}{2d}$ est périodique.

Il y a brouillage des franges pour toutes les valeurs de a multiples entiers de $\frac{\lambda}{2\varepsilon}$. $a_m = \frac{\lambda}{2\varepsilon} = 52 \text{ mm}$

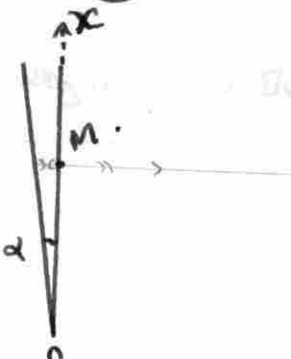
$$\Rightarrow \varepsilon = \frac{\lambda}{2a_m} = 5,7 \cdot 10^{-6} \text{ rad soit } 1,19 \text{ seconde d'arc}$$

Exercice 5

spectre cannulé

(10)

Le cône d'air est éclairé sous incidence normale.



$$E(H) = I_0 \left(1 + \cos \frac{2\pi \delta}{\lambda} \right) -$$

$$\delta \# 2dx + \frac{1}{2} \alpha \# \frac{d}{r}$$

$$\Rightarrow \delta = \frac{2dx}{r} + \frac{1}{2}$$

[↑] différence de marche
due à la réfraction
air-verre (milieu +
réfringent).

$$\Rightarrow E(H) = I_0 \left[1 - \cos \frac{2\pi}{\lambda} \frac{2dx}{r} \right].$$

on obtient des franges parallèles sur le cône d'air,
rectilignes // arête du dièdre.

Sur E, conjugué de A par L, on a $X = |\gamma| \cdot x$

γ grandissement transversal de L : $|\gamma| = \frac{P'}{P} = \frac{OE}{OA} = \frac{DE}{D}$.

formule de conjugaison : $\frac{1}{D} + \frac{1}{OE} = \frac{1}{g'} \Rightarrow \frac{Dg'}{D-g'} = OE$

$$\Rightarrow |\gamma| = \frac{g'}{D-g'}$$

D'où $\boxed{\varepsilon(x) = I_0 \left[1 - \cos \left(\frac{2\pi}{\lambda} \frac{2d \cdot (D-g')}{D-g'} x \right) \right] \quad \left(P = \frac{D}{2} = \frac{1}{2} + \frac{2d}{\lambda} \right)}$

Intervalle $\boxed{\Delta x = \frac{dg'}{2d(D-g')} = 4,63 \text{ mm}}$

(b) Au niveau de l'arête du dièdre : $x=0$, $P = \frac{1}{2} \Rightarrow$ 8^e sombre

Au niveau du bord : $x=l$, $P = \frac{1}{2} + \frac{2d}{\lambda} = 43,7$

on observe donc 44 franges sombres.

③ 6^e fringe brillante : $P = 6 = \frac{1}{2} + \frac{2dx}{\lambda}$

$$\Rightarrow \boxed{x = 5,5 \cdot \frac{\lambda l}{2d} = 5,1 \text{ mm du bord (côté A)}}$$

④ $\boxed{\varepsilon(x) = I_0 \left[1 - \cos \left(\frac{2\pi}{\lambda} \frac{2d(D-g')}{D-g'} x \right) \right]}$

⑤ $\boxed{\varepsilon(x) = I_0 \left[1 + \cos \frac{2\pi d}{\lambda} \right]}$

Les courbures noires correspondent aux valeurs de d telles

que $P = \frac{D}{\lambda} = \left(k + \frac{1}{2} \right) = \frac{1}{2} + \frac{2d}{\lambda} \cdot \frac{(D-g')}{g'} x$

$$\Rightarrow d = \frac{2dX(D-g')}{\lambda g'} \frac{1}{k} \quad k \in \mathbb{N} \quad \text{soit}$$

$$\boxed{d = \frac{5700}{k} \text{ (nm)}}$$

les valeurs possibles de k telles que $\frac{5700}{k} \in [400; 750]$

soit: $400 \leq \frac{5700}{k} \leq 750 \Leftrightarrow \frac{5700}{750} \leq k \leq \frac{5700}{400}$

soit: $7,6 \leq k \leq 14,25$

donc: $k = 8, 9, 10, 11, 12, 13, 14 \rightarrow 7$ combinaisons.

$$k=8 \rightarrow \lambda_1 = 712,5 \text{ nm}$$

$$k=9 \rightarrow \lambda_2 = 633,3 \text{ nm}$$

$$k=10 \rightarrow \lambda_3 = 570,0 \text{ nm}$$

$$k=11 \rightarrow \lambda_4 = 518,2 \text{ nm}$$

$$k=12 \rightarrow \lambda_5 = 475,0 \text{ nm}$$

$$k=13 \rightarrow \lambda_6 = 438,5 \text{ nm}$$

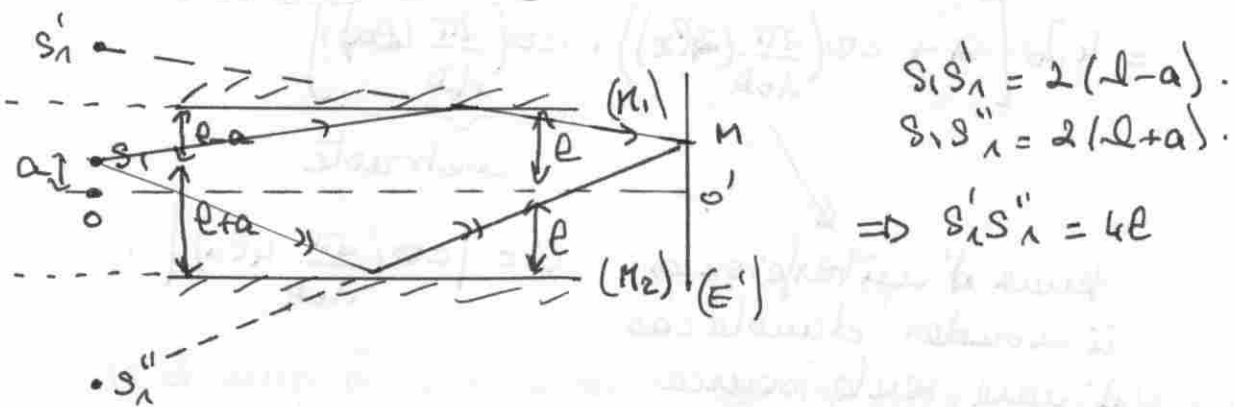
$$k=14 \rightarrow \lambda_7 = 407,1 \text{ nm}$$

Exo 6

Interférences à 2 miroirs.

(10)

- ① Si s_1, s_2 sont mutuellement incohérentes - $I(M) = I_1(M) + I_2(M)$
- ② Si, donne, par les 2 miroirs, 2 images = sources secondaires mutuellement cohérentes.



$$S_1 S_1' = 2(l-a)$$

$$S_2 S_2'' = 2(l+a)$$

$$\Rightarrow S_1 S_2'' = 4l$$

on a un dispositif analogue à celui des trous d'Young
les 2 sources S_1' et S_2'' sont en phase.

Si on note δ la distance entre S_1 et le plan (E').

$$n|x-y| \in (E')$$

on peut utiliser le résultat du cours :

$$\delta(n) = S_1'' n - S_1 n \quad (\text{chemins rectilignes}).$$

\int

$$\ll \delta = \frac{ax}{D} \gg \text{ trous d'Young}$$

a = distance entre sources

D = distance sources écran.

x = abscisse de M avec origine sur la médiatrice de (O, O_2)

ici $a \rightarrow 4l$

$D \rightarrow D$

$x \rightarrow (x-a)$

$$\Rightarrow J_n(x) = 2J_0 \left(1 + \cos \left(\frac{2\pi}{\lambda D} 4l(x-a) \right) \right).$$

③ de même pour $J_2(\eta)$ en changeant a en $-a$:

$$J_2(M) = 2J_0 \left(1 + \cos\left(\frac{2\pi}{\lambda D} 4e(x+a)\right) \right).$$

$$\textcircled{4} \quad J(x) = 4J_0 \left[1 + \cos\left(\frac{2\pi}{\lambda D} (4e(x-a) + 4e(x+a))\right) \cdot \cos\left(\frac{2\pi}{\lambda D} (4e(x-a) - 4e(x+a))\right) \right]$$

$$= 4J_0 \left[1 + \cos\left(\frac{2\pi}{\lambda D} (4ex)\right) \cdot \underbrace{\cos\left(\frac{2\pi}{\lambda D} 4ea\right)}_{\text{contraste}} \right]$$

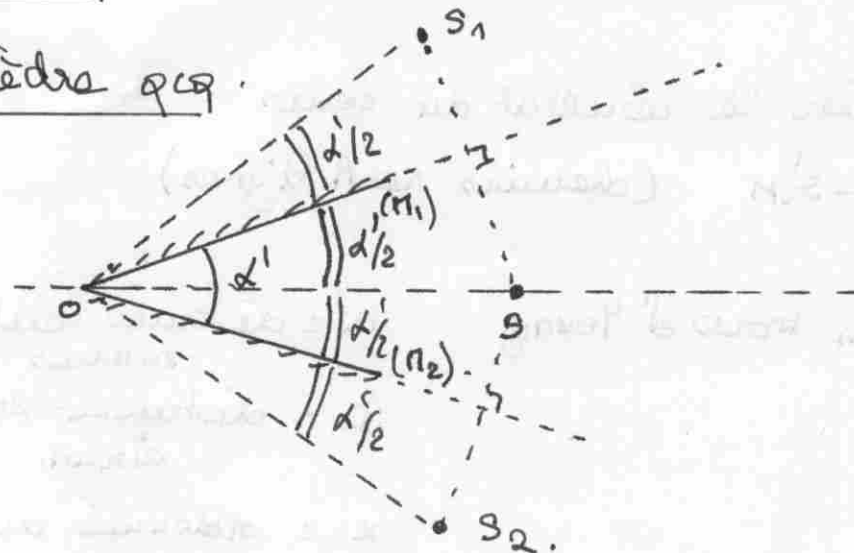
terme d'interférences
à 2 ondes dans le cas
d'une seule source
placée en O

$$C = \left| \cos\left(\frac{2\pi}{\lambda D} 4ea\right) \right|.$$

Exo 7

miroirs de Fresnel

① définition.

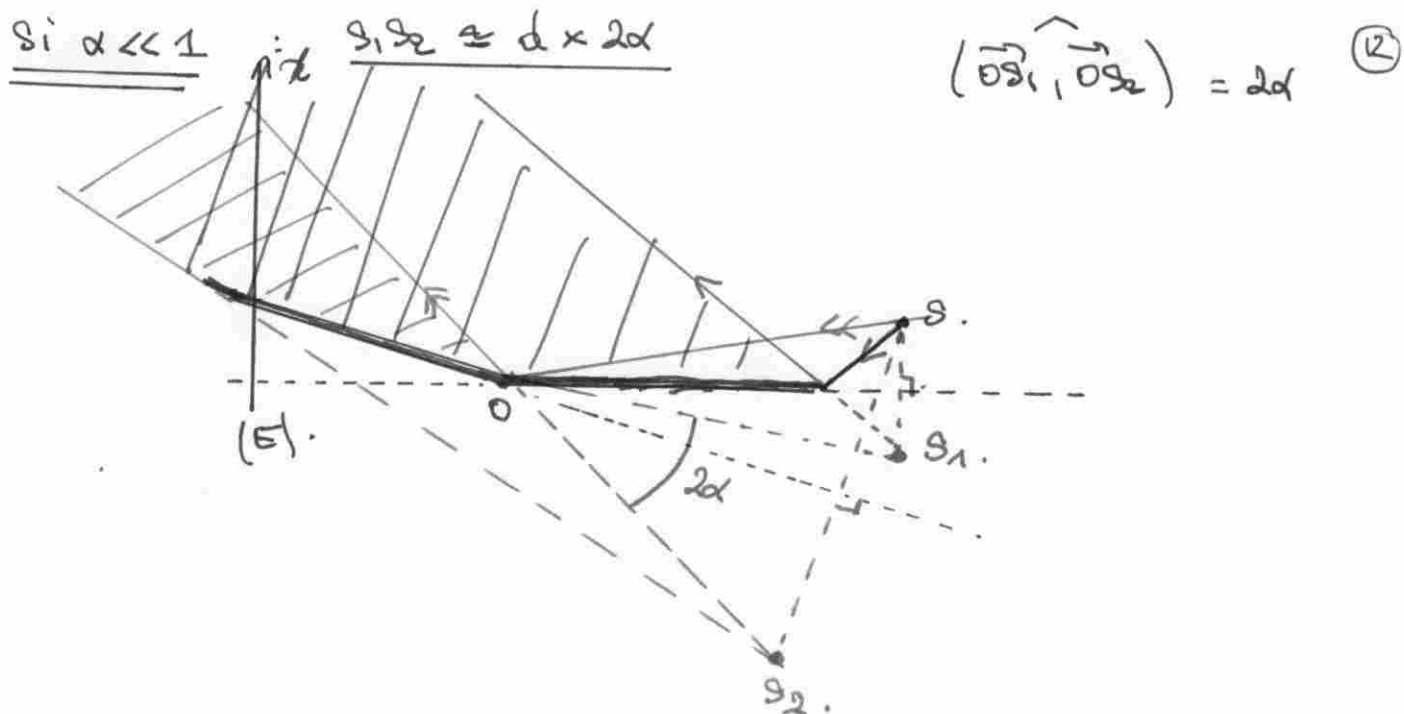


S1 image de S par M_1 .

$S_2 \dots \dots \dots M_2$.

\Rightarrow S1 se déduit de S2 par une rotation d'angle
 $\frac{2\alpha}{2d}$ + la valeur de α .

Si $\alpha' = \pi - \alpha$ avec $\alpha \ll 1$:



le champ d'interférence est la zone d'intersection des 2 faisceaux émis.

- ② Franges = hyperboles de révolution des points s_1 et s_2 coupés par l'écran (E) // $s_1 s_2$ et $D \gg s_1 s_2$
 \rightarrow franges rectilignes // arête du dièdre

Formule de Fizeau : interférence entre 2 ondes localement planes

$$\Sigma(n) = 2 \Sigma (\lambda + \cos \left(\frac{2\pi}{\lambda} \delta(n) \right))$$

on a la même situation que les trous d'Young sous lentille : $\delta(n) = s_2 n - s_1 n$ (trajets rectilignes dans l'air)
 $= \frac{\alpha x}{D+d}$.

$$\alpha = s_1 s_2 = 2\alpha d \Rightarrow \delta(x) = \frac{2\alpha dx}{D+d}$$

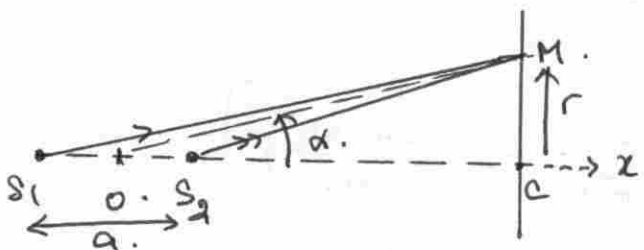
$$\text{si interférences} = \frac{d_0(D+d)}{2\alpha d} = \frac{632 \cdot 10^{-9} (110)}{2 \times \frac{3}{60} \times \frac{\pi}{180} \times 10} = 3,98 \text{ mm}$$

- ③ on peut utiliser une forte source rigoureusement // à l'arête du dièdre.

Exo 9 -

(13)

① Interférences à 2 ondes: $E(H) = 2E_0 (\mu + \cos(\frac{2\pi}{\lambda_0} S(H)))$.



$$R = OM \gg a$$

$$\vec{s}_1 M_1^2 = (\vec{s}_1 O + \vec{\theta} M)^2 = \left(\frac{a}{2}\right)^2 + R^2 + 2 \frac{a}{2} R \cos \alpha$$

$$\vec{s}_2 M_2^2 = (\vec{s}_2 O + \vec{\theta} M)^2 = \left(\frac{a}{2}\right)^2 + R^2 - 2 \frac{a}{2} R \cos \alpha.$$

avec $R \gg a$: $\delta = S_2 M - S_1 M$

$$= R \left[\mu + \frac{a^2}{2 \times 4 R^2} + \frac{a}{2R} \cos \alpha - 1 - \frac{a^2}{2 \times 4 R^2} + \frac{a}{2R} \cos \alpha \right]$$

à l'ordre 1 en $\frac{a}{R}$.

$$\Rightarrow \boxed{\delta \approx a \cos \alpha.} \quad \cos \alpha = \frac{D}{D^2 + r^2}$$

En C: $\delta = a$ si $S_1 S_2 = 0$ fixe

$$\delta(t) = \frac{a}{2} + x(t) \text{ si on déplace } S_1$$

$$= \dots \sqrt{t} \text{ si } S_1 S_2 = 0 \text{ à } t=0.$$

qu'il déplace l'origine de t

$$\Rightarrow \boxed{I(H) = 2I_0 \left(\mu + \cos \left(\frac{2\pi}{\lambda_0} \sqrt{t} \right) \right)}$$

on voit dégénérer en C les franges alternativement brillantes et sombre, avec une période $T = \frac{\lambda_0}{\sqrt{t}}$

② on superpose les 2 figures d'interférences des 2 ondes (non synchrones donc n'interférant pas):

$$I(H) = I_{\lambda_1}(r) + I_{\lambda_2}(r)$$

$$= 2I_0 \mu \left(\mu + \cos \frac{2\pi}{\lambda_1} \sqrt{t} \right) + 2I_0 \mu \left(\mu + \cos \frac{2\pi}{\lambda_2} \sqrt{t} \right).$$

si on suppose les 2 ondes de même intensité $I_{\lambda_1} = I_{\lambda_2} = \frac{I_0}{2}$

$$I(t) = I_0 \left(1 + \cos\left(\pi v t \left(\frac{1}{\lambda_1} - \frac{1}{\lambda_2}\right)\right) \cdot \cos\left[\pi v t \left(\frac{1}{\lambda_1} + \frac{1}{\lambda_2}\right)\right] \right). \quad (14)$$

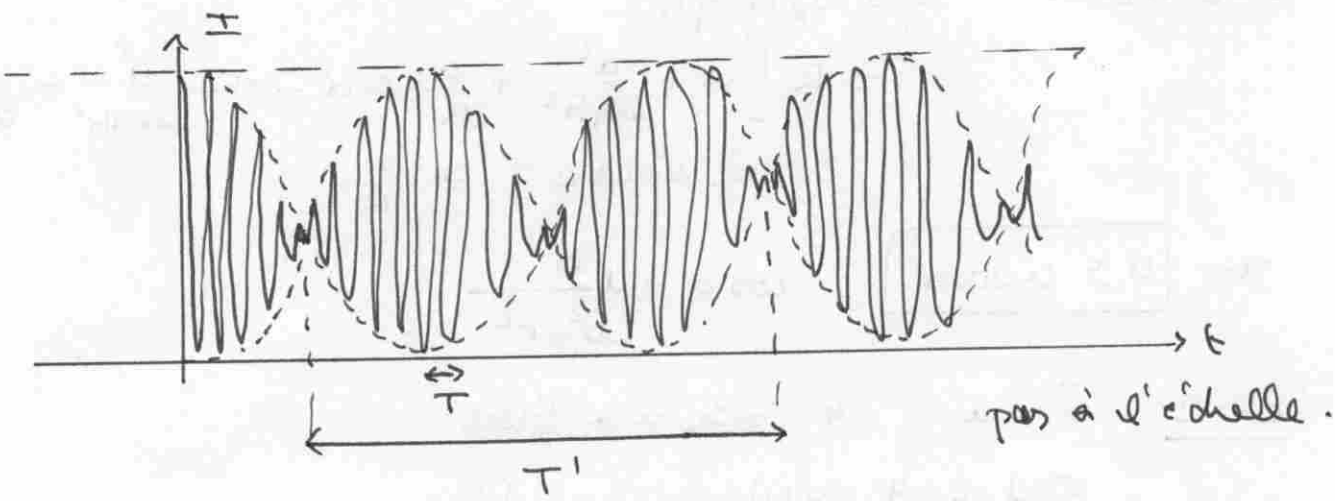
Si on pose $\Delta m / \frac{2}{\Delta m} = \frac{1}{\lambda_1} + \frac{1}{\lambda_2}$ longueur d'onde moyenne du doublet.

On a :

$$I(t) = I_0 \left[1 + \cos\left(\pi v t \frac{\Delta \lambda}{\Delta m^2}\right) \cdot \underbrace{\cos\left(\frac{2\pi v t}{\Delta m}\right)}_{\text{granges d'interférence}} \right]$$

degré de cohérence de période
 $T' = \frac{2\Delta m^2}{\Delta \lambda \cdot v} \gg T$

granges d'interférence de période $T = \frac{\Delta m}{v}$ comme au ①



Le temps séparant 2 points de contrast nul est $\frac{T'}{2}$.

$$\boxed{\frac{T'}{2T} = \frac{\Delta m}{\Delta \lambda}} \quad \text{c'est l'inverse de la longueur relative du doublet}$$

- ③ on superpose les intensités correspondant à chaque intervalle spectral :

$$I(t) = \int_{-\infty}^{\infty} 2F_{\sigma,1}(\sigma) \left(1 + \cos(2\pi v t \sigma) \right) d\sigma$$

$$= 2 \int_{-\infty}^{\infty} F_{\sigma,1}(\sigma) d\sigma + 2B_0(\Delta\sigma)^2 \int_{-\infty}^{\infty} \frac{\cos(2\pi v t \sigma)}{(\sigma - \sigma_0)^2 + (\Delta\sigma)^2} d\sigma$$

rel (3) avec $\sigma = v t$

pour $\Delta\sigma = 0$

$$= 2 \frac{\pi}{\Delta\sigma} \cdot B_0 + 2B_0(\Delta\sigma)^2 \cdot \frac{\pi}{\Delta\sigma} \cdot \cos(2\pi\sigma_0 v t) e^{-2\pi v t \Delta\sigma}$$

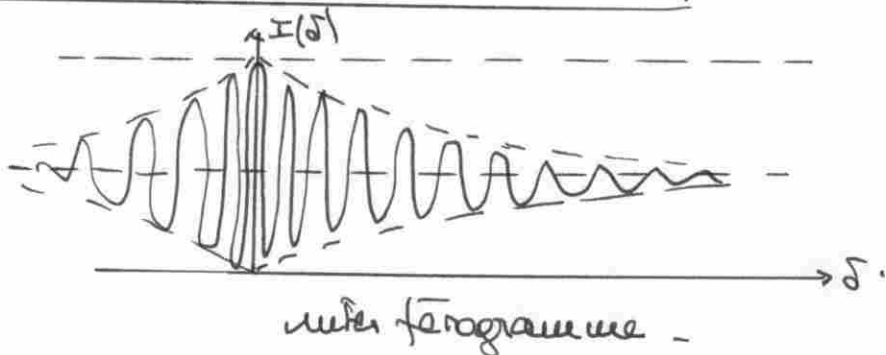
on note $I_0 = \frac{\pi B_0}{\Delta T}$ intensité totale d'une onde

$$I(t) = 2I_0 \left[1 + e^{-2\pi v t \Delta \sigma} \underbrace{\cos(2\pi v t \sigma_1)}_{\text{degré de cohérence}} \right] \underbrace{\cos(2\pi v t \sigma_2)}_{\text{franges d'interférences}}$$

$$\Rightarrow I(\delta) = 2I_0 \left[1 + e^{-2\pi \Delta \sigma \delta} \cos(2\pi \sigma_1 \delta) \right] \quad \delta = vt \text{ déphase}$$

b)

$$C = \frac{1}{2\pi \Delta \sigma v}$$



c) Pour les deuxes on superpose les 2 interféogrammes:

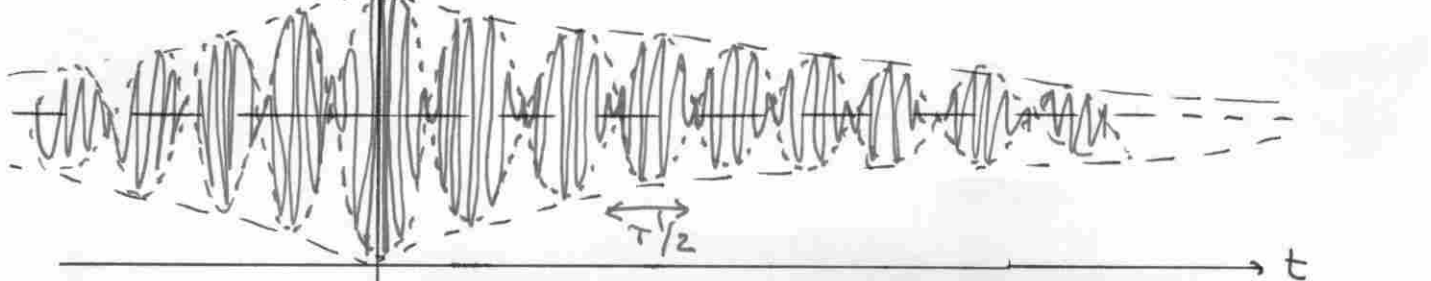
$$I(\delta) = I_1(\delta) + I_2(\delta) = 2I_0 \left[1 + e^{-2\pi \Delta \sigma \delta} \cos(2\pi \sigma_1 \delta) + 1 + e^{-2\pi \Delta \sigma \delta} \cos(2\pi \sigma_2 \delta) \right]$$

$$= 4I_0 \underbrace{\left[1 + e^{-2\pi \Delta \sigma \delta} \cdot \cos(\pi \Delta \sigma \delta) \cdot \cos(2\pi \frac{\sigma_1 + \sigma_2}{2} \delta) \right]}_{\text{degré de cohérence}} \underbrace{\cos(2\pi \frac{\sigma_1 + \sigma_2}{2} \delta)}_{\text{franges d'interférences}}.$$

$$C = \frac{1}{2\pi \Delta \sigma v} \text{ et } \frac{T}{2} = \frac{1}{\sqrt{\Delta \sigma}} \Rightarrow \frac{2C}{T} = \frac{\Delta \sigma}{\Delta \sigma} \xrightarrow{\text{écart entre les 2 rues}} \text{l'espacement des rues}$$

$$I(t) \approx I_0$$

$$\Delta \sigma \ll \Delta \sigma$$



Exercice 10: velocimétrie laser.

- (10) On peut utiliser un Michelson en coin d'air ou un dispositif analogue avec une lame semi-réfléchissante et un miroir (angle α /direction lame).



En ajoutant la longueur parcourue pour le faisceau 2 on peut se débrouiller pour que les 2 ondes soient en phase sur le plan $y=0$.

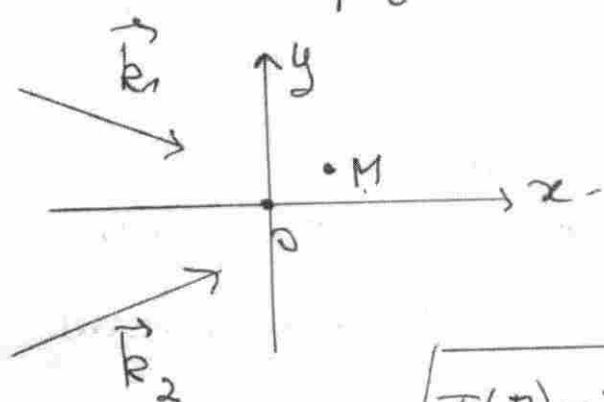
$$(20) \quad a_1(n,t) = A_0 e^{i(\vec{k}_1 \cdot \vec{r})} \quad \vec{r} = \vec{OM}$$

$$a_2(n,t) = A_0 e^{i(\vec{k}_2 \cdot \vec{r})}. \quad |A_0|^2 = I_0$$

$$\Rightarrow I(n,t) = 2I_0 (1 + \cos((\vec{k}_2 - \vec{k}_1) \cdot \vec{r})).$$

$$\vec{k}_1 = \frac{2\pi}{\lambda_0} \begin{cases} \cos \alpha \\ -\sin \alpha \\ 0 \end{cases}$$

$$\vec{k}_2 = \frac{2\pi}{\lambda_0} \begin{cases} \cos \alpha \\ \sin \alpha \\ 0 \end{cases} \quad (n=1 \text{ ici})$$



$$\begin{aligned} \vec{r} &= (\vec{k}_2 - \vec{k}_1) \cdot \vec{r} \\ &= \frac{2\pi}{\lambda_0} \cdot 2 \sin \alpha \cdot y \end{aligned}$$

$$\Rightarrow I(n) = I(y) = 2I_0 \left(1 + \cos \left(\frac{2\pi}{\lambda_0} 2y \sin \alpha \right) \right)$$

Frauges rectilignes // Ox.

Interfrange : $i = \frac{d_0}{2 \sin \alpha}$

- (3°) La particule a la même vitesse que le fluide donc elle met le temps $t_0 = \frac{i}{v}$ à passer d'une frauge à l'autre : $f = \frac{1}{t_0} = \frac{v}{i}$
- $$\Rightarrow f = \frac{2 v \cdot \sin \alpha}{d_0} \quad \text{ou} \quad v = \frac{d_0 f}{2 \sin \alpha}$$

AN: $v = 3,166 \text{ m/s}$.

S'ertitude : $\frac{Mv}{v} = \sqrt{\left(\frac{M d_0}{d_0}\right)^2 + \left(\frac{Mf}{f}\right)^2 + \left(\frac{M \sin \alpha}{\sin \alpha}\right)^2}$

$\alpha \ll 1$

$$\frac{M d_0}{d_0} \approx \frac{M \alpha}{\alpha} = \frac{0,1}{10} = 10^{-2}$$

$$\frac{Mf}{f} = \frac{0,03}{2,34} = 1,2 \cdot 10^{-2}$$

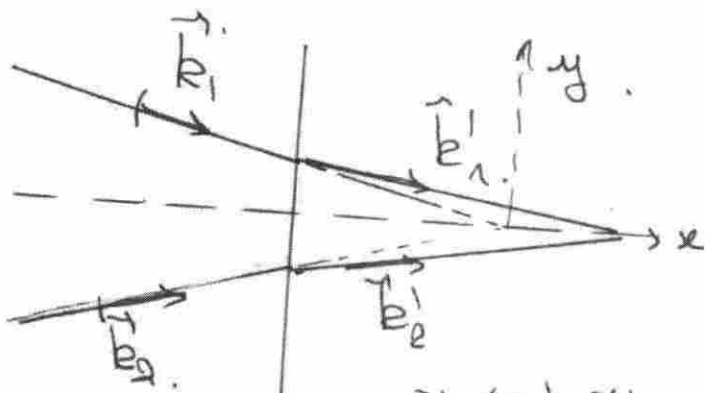
$$\frac{M d_0}{d_0} = \frac{1}{514} = 2 \cdot 10^{-3}$$

$$\Rightarrow \frac{Mv}{v} \approx 1,6 \cdot 10^{-2} \rightarrow Mv \approx 0,05 \text{ m/s}$$

$$\Rightarrow v = 3,166 \pm 0,05 \text{ m/s}$$

- (4°) Si le guide a un indice n des 2 vecteurs d'onde ont un module $\frac{2\pi}{\lambda} = \frac{2\pi n}{\lambda}$ sont dérivés en outant dans le guide

on a alors le schéma suivant.



$$\vec{k}_1 = \frac{2\pi n}{d_0} \begin{pmatrix} \cos \alpha \\ -\sin \alpha \\ 0 \end{pmatrix}$$

$$\vec{k}_2 = \frac{2\pi n}{d_0} \begin{pmatrix} \cos \beta \\ \sin \beta \\ 0 \end{pmatrix}$$

$$r \cdot (\vec{k}_1 - \vec{k}_2) = \frac{2\pi n}{d_0} \cdot 2 \sin \alpha y$$

avec $\alpha' / n \sin \alpha' = \sin \alpha$ par rapport
d'où $r \cdot (\vec{k}_1 - \vec{k}_2) = \frac{2\pi}{d_0} \cdot n \sin \alpha y$
cela ne change pas l'interférence.

50 La particule a une durée de vie finie donc le signal sera enregistré sur une durée $t \approx \frac{d}{v}$ si on utilise les particules qui traversent le faisceau au milieu

Alors, même si le signal enregistré est sinusoidal ayant de durée t , il aura un spectre de largeur $\Delta f \approx \frac{1}{t}$.

$$\Rightarrow \Delta f \approx \frac{v}{d}$$

comme $f = \frac{v}{\lambda}$ on a
$$\boxed{\Delta f \approx \frac{v}{d}}$$

on veut $\frac{\Delta f}{f} \leq 0,1\%$ soit $\frac{\Delta f}{f} \leq 0,1\%$. Avec $\lambda = \frac{d_0}{2 \sin \alpha} = 1,5 \text{ nm}$
cela implique $d \geq 15 \text{ mm}$.